

## [II-28]

### ITO, PR, 격벽 재료의 레이저 직접 미세가공

이천, 이경철, 안민영, 이홍규

인하대학교 전기공학과

플라즈마 디스플레이 패널(PDP)의 공정을 간단히 하기 위하여 포토레지스트, ITO, 격벽재료를 Ar+ laser( $\lambda = 514 \text{ nm}$ , CW)와 Nd:YAG laser( $\lambda = 532, 266 \text{ nm}$ , pulse)로 직접 패터닝 하였다.

레이저에 의한 포토레지스트의 패턴 결과, 아르곤 이온 레이저의 포토레지스트 가공의 반응 메커니즘은 레이저 빔의 열에 의한 시료 표면의 국부적인 온도상승에 의한 용융작용이며, 그 결과 식각 후 형성된 패턴의 단면 모양도 레이저 빔의 profile과 같은 가우시안 형태를 나타낸다. Nd:YAG 레이저의 4 고조파(532 nm)를 이용한 경우  $200 \mu\text{m/sec}$ 의 주사속도에서 포토레지스트를 패턴하기 위한 임계에너지(threshold energy fluence)값은  $25 \text{ J/cm}^2$ 이며, 약  $40 \text{ J/cm}^2$ 의 에너지 밀도에서 하부기판의 손상이 발생하기 시작하였다. 그럼 1은 Nd:YAG 레이저 4고조파를 이용하여 포토레지스트를 식각한 경우, SEM 표면사진(위)과 단차측정기에 의한 단면형상(아래)이다.

ITO 막의 레이저에 의한 직접 패턴 결과, ITO 막은 레이저 펄스에 의한 급속 가열 및 증발에 의한 메커니즘으로 식각이 이루어지며, 레이저 파장에 따른 광흡수 정도의 차이에 의해, 2 고조파(532 nm)에서 ITO 막의 가공 품질이 4 고조파(266 nm)에 비해 우수하며 패턴의 폭도 출력에 따라 제어가 용이하였다. 그림 2는 Nd:YAG 레이저 2고조파를 이용하여 ITO를 식각한 경우 SEM 표면사진(위)과 단차측정기에 의한 단면형상(아래)이다.

격벽 재료의 레이저에 의한 직접 패턴 결과, Ar+레이저(514 nm)는 출력 밀도  $32 \text{ MW/cm}^2$ 에서 격벽을 유리 기판의 경계면 까지 식각 하였다. Nd:YAG 레이저(532 nm)는 laser fluence가  $6.5 \text{ mJ/cm}^2$ 에서 격벽을 식각하기 시작하였으며,  $19.5 \text{ J/cm}^2$ 에서 유리기판의 경계면(격벽 두께  $130 \mu\text{m}$ )까지 식각하였다.

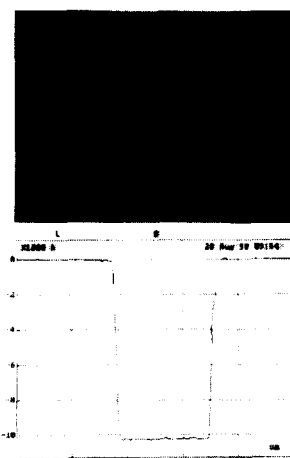


그림 1. Nd:YAG 레이저 제 4 고조파( $266 \text{ nm}$ )에 의한 Si 기판 위의 PR의 식각특성( $38 \text{ J/cm}^2, v=200 \mu\text{m/s}, f=10 \text{ Hz}$ )

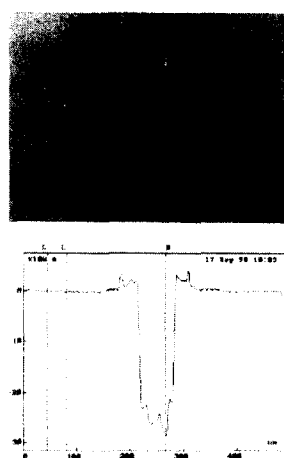


그림 2. Nd:YAG 레이저 제 2 고조파( $532 \text{ nm}$ )에 의한 ITO의 식각특성( $98.7 \text{ J/cm}^2, v=200 \mu\text{m/s}, f=10 \text{ Hz}$ )